



FACULTAD DE INGENIERIA

Universidad de Buenos Aires

CARRERA DE ESPECIALIZACIÓN EN SISTEMAS EMBEBIDOS

MEMORIA DEL TRABAJO FINAL

**Sistema de sensores autónomos para
monitoreo de redes de distribución de
baja tensión mediante LoRaWAN**

Autor:
Ing Milton Eduardo Sosa

Director:
Marcelo Romeo (UNSaM)

Jurados:
Gustavo Mercado (UTN-FRM)
Javier Kolodziej (UNaM-FIO)
Gerardo Sager (UNLP)

*Este trabajo fue realizado en la Ciudad de Munich, Alemania,
entre Junio de 2020 y Abril de 2021.*

Resumen

En la presente memoria se describe el desarrollo e implementación de un sistema cuya función es determinar valores eficaces de corriente alterna en sistemas metropolitanos de distribución de energía eléctrica en baja tensión. Además, es capaz de reportar estados a un centro de operaciones mediante el uso de una red LoRaWAN de acceso público e implementa el uso de tecnologías alternativas de acumulación de energía.

El sistema desarrollado otorga mayor granularidad de información sobre el estado de operación de las redes eléctricas, brindando información valiosa sobre eventos recurrentes, en pro de delinejar acciones correctivas y/o preventivas para mejorar la calidad de servicio.

Agradecimientos

A mi familia, director y colaboradores.

Índice general

| | |
|---|-----------|
| Resumen | I |
| 1. Introducción general | 1 |
| 1.1. Estaciones transformadoras | 1 |
| 1.2. Medidores de energía | 1 |
| 1.3. Estado del arte y problemática identificada | 2 |
| 1.4. Objetivos y alcance | 4 |
| 1.4.1. Objetivo general | 4 |
| 1.4.2. Objetivos específicos | 4 |
| 1.4.3. Alcances | 5 |
| 2. Introducción específica | 7 |
| 2.1. Requerimientos acordados con el cliente | 7 |
| 2.2. Diagrama de bloques general del sistema implementado | 8 |
| 2.3. Detalle del hardware | 9 |
| 2.3.1. Transformador de corriente | 9 |
| 2.3.2. Circuito de selección | 9 |
| 2.3.3. Conversión de energía | 10 |
| 2.3.4. Supercapacitor como acumulador de energía | 11 |
| 2.3.5. Uso de mayúscula inicial para los títulos de secciones | 12 |
| 2.3.6. Este es el título de una subsección | 13 |
| 2.3.7. Figuras | 13 |
| 2.3.8. Tablas | 14 |
| 2.3.9. Ecuaciones | 15 |
| 3. Diseño e implementación | 17 |
| 3.1. Análisis del software | 17 |
| 4. Ensayos y resultados | 19 |
| 4.1. Pruebas funcionales del hardware | 19 |
| 5. Conclusiones | 21 |
| 5.1. Conclusiones generales | 21 |
| 5.2. Trabajo a futuro | 22 |
| Bibliografía | 23 |

Índice de figuras

| | | |
|-------|---|----|
| 1.2. | Medidor de energía digital con complemento para telemedición mediante GSM. Imagen tomada de [2] | 3 |
| 1.3. | Fusible seccionador aéreo tipo NH usualmente utilizado en líneas de distribución de baja tensión | 3 |
| 1.4. | Un árbol caído sobre las líneas de distribución aéreas de baja tensión luego de una breve tormenta en la ciudad de Posadas, Misiones. Imagen tomada de [3] | 4 |
| 2.1. | Diagrama de bloques del HW para el nodo a instalar <i>in situ</i> | 9 |
| 2.2. | Diagrama de bloques del FW implementado en el MC y su interacción con la red LoRaWAN y los BES privados del sistema. | 10 |
| 2.3. | Ejemplo de interfaz gráfica de usuario requerida por el cliente para presentar los últimos datos recuperados por cada nodo en la ciudad de Posadas, Misiones. | 10 |
| 2.4. | Circuito de medición indirecta de corriente mediante un TI.[11] . . | 11 |
| 2.5. | Pinout del relay HF115F/005-2ZS4A (izquierda) y su encapsulado (derecha). Imágenes tomadas de [12] | 11 |
| 2.6. | Simulación de rectificadores basados en diodos y MOSFET. Imágenes tomadas de: [13] | 12 |
| 2.7. | Ilustración del cuadrado azul que se eligió para el diseño del logo. | 14 |
| 2.8. | Imagen tomada de la página oficial del procesador ¹ | 14 |
| 2.9. | ¿Por qué de pronto aparece esta figura? | 15 |
| 2.10. | Tres gráficos simples | 15 |

Índice de tablas

| | |
|---|----|
| 2.1. Comparativa entre una batería y un supercapacitor para este proyecto | 12 |
| 2.2. caption corto | 15 |

Capítulo 1

Introducción general

1.1. Estaciones transformadoras

Se denomina estación transformadora al conjunto de equipos electromecánicos responsables de convertir la energía eléctrica variando uno o más de sus principales parámetros, que son tensión y corriente. Esta conversión se logra a través del componente más importante del conjunto, el transformador. La finalidad de convertir la energía eléctrica, que puede ser elevando o reduciendo el nivel de tensión, es poder transmitir y distribuir esa energía hacia los receptores que pueden ser consumidores finales tales como residencias familiares o polos industriales.

Por convención se denomina Estación Transformadora (E.T.) cuando en el proceso se ven involucrados valores considerados de alta tensión (mayor a 66 kV) y Subestación Transformadora (S.E.T.) en el caso de tensiones menores a 66 kV [1]. Para la distribución hacia los consumidores finales, se utilizan las denominadas Subestaciones Transformadoras Aéreas (S.E.T.A.) que convierten la tensión disminuyendo su valor de media a baja tensión.

Para poder obtener energía eléctrica a la salida en óptimas condiciones de calidad y disponibilidad, resulta fundamental administrar y controlar los valores intrínsecos que componen la transmisión y recepción de la misma. Esto se logra a través de instrumentos de medición de tensión y corriente, tanto a la entrada (alta tensión) como a la salida (media tensión) de la conversión. Por otro lado, con el fin de mantener y preservar los equipos electromecánicos se consideran de gran importancia otros valores físicos como temperatura y humedad.

1.2. Medidores de energía

Llegado el momento de entregar la energía al usuario final, es indispensable cuantificarla para luego comercializarla. Las distribuidoras del servicio utilizan medidores de energía electromecánicos o electrónicos, que registran en todo momento la energía acumulada que fluye por el mismo.

La medición de corriente puede ser directa, vinculando los conductores de alimentación de la carga directamente al medidor o indirecta. Una medición indirecta consiste en reducir los valores de corriente de carga a través de transformadores de corriente (TI) y vincular sus secundarios al medidor 1.1. Este último



FIGURA 1.1. Medición indirecta de corriente empleando transformadores de corriente (TI).¹

método se emplea en casos donde la corriente calculada supera el valor permitido por el medidor de energía, por lo que es necesario multiplicar el valor de la lectura por un coeficiente correspondiente a la relación de transformación del TI.

En la actualidad algunas prestadoras del servicio eléctrico han adoptado estrategias de medición inteligente similares a la presentada en la figura 1.2. En este esquema los equipos de medición se reportan a centros de operación a través de una red de comunicaciones móvil, como por ejemplo GSM.

El concepto de telemedición aporta además de lo comercial, valiosa información técnica, ya que los centros de operaciones conocen en todo momento el estado del medidor con la posibilidad de detectar fallas o la interrupción del servicio eléctrico.

1.3. Estado del arte y problemática identificada

En Sudamérica, gran parte de las empresas distibuidoras de energía eléctrica y sus tercerizadas, basan parte de sus operaciones en el contacto directo con los usuarios finales mediante reclamos para informarse acerca de interrupciones en el servicio de distribución de energía eléctrica. Una vez recibido un reclamo, la prestadora de servicios envía al grupo de operaciones especializado a recorrer el área circundante al cliente y tratar de determinar el motivo de la interrupción del servicio.

Un hecho común en el nordeste Argentino y particularmente en la provincia de Misiones es la destrucción de fusibles aéreos como el presentado en la figura 1.3.

¹Imagen tomada por el autor



FIGURA 1.2. Medidor de energía digital con complemento para telemedición mediante GSM. Imagen tomada de [2]



FIGURA 1.3. Fusible seccionador aéreo tipo NH usualmente utilizado en líneas de distribución de baja tensión

Estos fusibles conectados inmediatamente a la salida de baja tensión y en serie con las líneas de distribución, cumplen la función de protección por sobrecorriente debido a picos de consumo o cortocircuitos causados por desastres naturales como el de la figura 1.4. Los fusibles involucrados actúan de manera correcta autodestruyéndose e interrumpiendo el paso de corriente.

Este esquema presentado, resulta aún precario y no efectivo en cuanto a la rapidez para determinar la localización geográfica donde se ha generado una falla, lo que resulta en una inferior calidad de servicio prestado al cliente.

Cabe mencionar que la mayoría de las redes de distribución de baja tensión en 380/220V no poseen la capacidad de brindar algún otro servicio agregado. Algunas redes de media (33 kV) y alta tensión (132 kV) las cuales sin embargo, pueden albergar un conjunto de cables de fibra óptica (OPGW) los cuales pueden



FIGURA 1.4. Un árbol caído sobre las líneas de distribución aéreas de baja tensión luego de una breve tormenta en la ciudad de Posadas, Misiones. Imagen tomada de [3]

ser utilizados para brindar servicios a terceras partes como empresas de telefonía o bien para monitoreo de la red propiamente dicha. Sin embargo, estas OPGW demuestran cierta vulnerabilidad frente a condiciones climáticas extremas tales como descargas atmosféricas y por lo tanto tienen un alto costo de mantenimiento [4].

[5] y [6] comparten una arquitectura de 3 capas: física, red y aplicación para sistemas de smart grid. A partir del entorno donde residirá la aplicación y su objetivo final, surgen diferentes estrategias de control. Así también, la selección de sensores de diferente tipo tales como meteorológicos e infraestructura [6] o bien de cargas eléctricas que residen dentro de un entorno controlado haciendo uso de redes de diferente tipo [5].

Las tecnologías emergentes propias de IoT tales como las redes de comunicación de baja potencia y largo alcance LPWAN [7], y las redes tipo malla se analizan y comparan en [8] como las tecnologías disponibles y viables para dotar de una infraestructura de comunicaciones a las redes de distribución metropolitanas. En [9] y [10] se presentan sistemas de medición de temperatura autónomos utilizando transductores termoeléctricos y electromagnéticos para conversión de energía térmica o electromagnética en energía eléctrica para alimentar la electrónica involucrada y cargar un acumulador.

1.4. Objetivos y alcance

1.4.1. Objetivo general

Desarrollar un sistema capaz de determinar valores eficaces de corriente alterna en sistemas metropolitanos de distribución de energía eléctrica en baja tensión y reportar estados a un centro de operaciones a través de una red LoRaWAN de acceso público.

1.4.2. Objetivos específicos

- Evaluar el uso de un supercapacitor como reemplazo de una batería convencional.

- Desarrollar una electrónica de ultra bajo consumo para maximizar la autonomía de operación del supercapacitor.

1.4.3. Alcances

En el presente proyecto se desarrollan los siguientes temas:

- Circuito de conversión de energía basado en rectificadores de alta eficiencia.
- Acumulador de energía basado en supercapacitores
- Patrón de firmware implementado en el microcontrolador para optimizar el uso de energía del acumulador.
- Medición de valor RMS de corriente mediante transformador de corriente.
- Tecnología LoRaWAN.
- Recuperación, almacenamiento y presentación de datos generados por los nodos finales.

Si bien el proyecto es parte de un plan de creación de una PyME del autor, no es parte del alcance ni se cubren en este documento las etapa de lanzamiento de producto ni creación de la empresa.

Capítulo 2

Introducción específica

En este capítulo se presentan los requerimientos acordados con el cliente y los recursos de hardware (HW) y software (SW) utilizados para el desarrollo de trabajo. Se describen en las partes implementadas del HW, los servicios integrados de backend (BES) y solamente algunos aspectos relevantes del firmware (FW) que interactúa con el hardware. En el capítulo 3 se abarca la lógica de negocios implementada en el FW del microcontrolador.

2.1. Requerimientos acordados con el cliente

1. Grupo de requerimientos asociados con hardware
 - a) El dispositivo deberá ser de tipo *plug and play*.
 - b) El circuito impreso no deberá ocupar un volumen mayor a 10x10x5 cm.
 - c) Basarse en un microcontrolador ESP32 y disponer de:
 - 1) 4 entradas analógicas.
 - 2) 3 salidas digitales.
 - 3) Unidad UART.
 - 4) Integrar un módulo de comunicaciones LoRa.
 - d) Deberá tener al menos 12 horas de autonomía de funcionamiento.
 - e) Bajo consumo en modo ocioso: el consumo del hardware en total, no deberá superar los 5 mA cuando no está midiendo ni transmitiendo.
 - f) El circuito elevador de tensión DC-DC deberá:
 - 1) Funcionar con tensiones menores a 2V en la entrada.
 - 2) Otorgar 5 Volts a la salida.
 - 3) Ser capaz de otorgar 300 miliamperes a la salida.
 - g) El transformador de corriente debe:
 - 1) Ser de tipo núcleo partido.
 - 2) Admitir 100 Amperes de corriente en el circuito primario y un máximo 5 Amperes en el circuito secundario.
 - h) El relay encargado de cambiar el modo de operación debe:

- 1) Ser de tipo doble inversor sin retención.
 - 2) Su bobina debe poder energizarse con 5V o menos.
 - 3) Soportar al menos 5 Amperes de corriente por los contactos.
 - i) Debe funcionar de manera independiente a la frecuencia de operación de la red 50/60 Hz.
 - j) Debe funcionar de manera independiente a la tensión de fase del sistema de distribución 110/220 Voltios.
2. Grupo de requerimientos asociados con el firmware
- a) Debe manejar un módulo de comunicación LoRa y protocolo LoRaWAN.
 - b) Deberá tener un porcentaje de cobertura de tests unitarios del 60 % como mínimo.
 - c) Antes configurarse en modo ocioso, debe desenergizar la etapa de medición de corriente y el módulo de comunicaciones con el objeto de ahorrar energía.
3. Grupo de requerimientos asociados con los BES
- a) Todos los servicios deben poder correr en una Raspberry Pi 3.
 - b) El software de los BES se desarrollará en lenguaje Python.
 - c) Recuperar los datos de la red LoRaWAN.
 - d) Almacenar los datos en una tabla de MySQL.
 - e) GUI basada en Grafana.
4. Grupo de requerimientos asociados con ensayos de integración y *end-to-end*
- a) El banco de ensayos de hardware debe contar con una carga fantasma de al menos 10 Amperes y permitir realizar interrupciones de corriente de manera programada mediante una computadora adicional tipo Raspberry Pi o de manera manual.
 - b) Los BES deben estar operativos al momento de realizar los ensayos.
 - c) Contar con un gateway de acceso a una red LoRaWAN como por ejemplo *The Things Network*.

2.2. Diagrama de bloques general del sistema implementado

El diagrama de bloques del HW a instalar *in situ* es presentado en la figura 2.1 y consta de cuatro bloques:

1. Circuito de selección de modo: un relay (RL) y su circuito de mando controlarán a que etapa del nodo se conectarán los terminales del TI.
2. Etapa de rectificación, acumulación de energía y elevación de tensión: compuesta por rectificador de onda completa, una etapa de filtrado y acumulación y un circuito elevador de tensión.

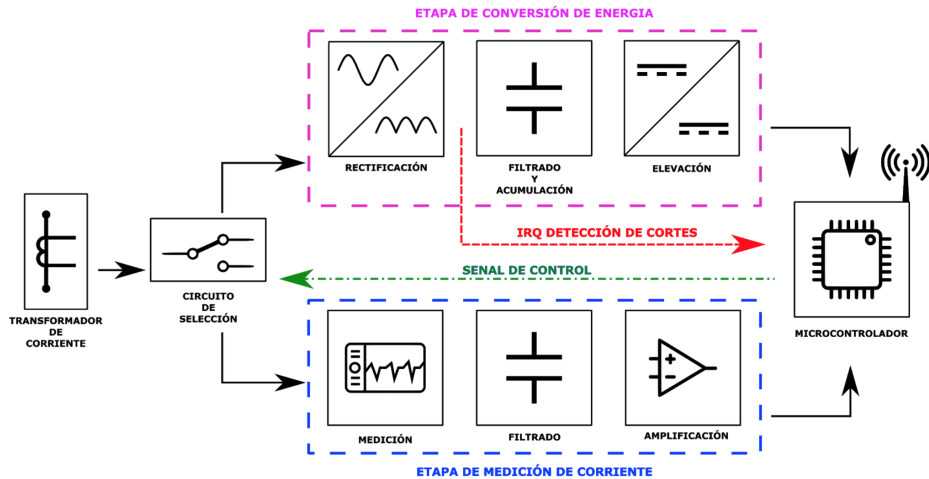


FIGURA 2.1. Diagrama de bloques del HW para el nodo a instalar *in situ*

3. Etapa de medición de valor RMS de corriente: un chip dedicado toma la señal de tensión generada en bornes del resistor shunt y calcula el valor RMS. A su salida entrega un valor proporcional de tensión DC.
4. Microcontrolador (MC): ejecutar la lógica de negocios que rige el comportamiento del nodo, digitalizar mediciones y transmitir datos a la red LoRaWAN.

Por otro lado, el sistema también implica el desarrollo y puesta en funcionamiento de un conjunto de servicios de *backend* (BES) propios del proyecto que cumplen las funciones de:

- Recuperación de datos de la red LoRaWAN.
- Almacenamiento en una base de datos (DB).
- Presentación de los datos al usuario final mediante una interfaz gráfica de usuario (GUI).

El requisito 3c impuso el uso de una red LoRaWAN como columna vertebral para la transmisión de datos generados por los nodos. Para cumplirlo se adoptó la arquitectura presentada en la figura 2.2. Las mediciones son tomadas por el HW y transmitidas hacia la red LoRaWAN para luego interactuar con los BES privados que se encargan de recuperar, almacenar y presentar los datos al usuario final. Una interfaz gráfica de como la presentada en la figura 2.3, se encarga de presentar al usuario final los últimos datos adquiridos por cada nodo. De esta manera, se puede identificar de manera simple mediante un punto verde o rojo sobre el mapa si la línea monitoreada presenta un problema.

2.3. Detalle del hardware

2.3.1. Transformador de corriente

2.3.2. Circuito de selección

A partir del lineamiento de que el TI debe estar conectado a la entrada del rectificador por defecto y al resistor shunt al energizarse la bobina del RL, el número

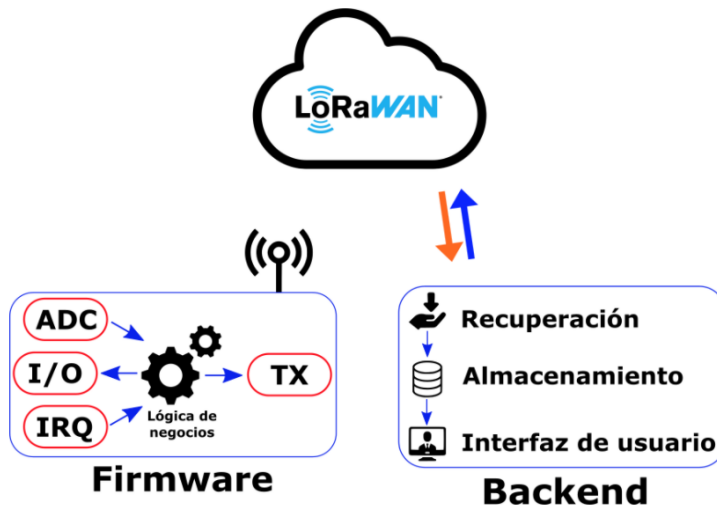


FIGURA 2.2. Diagrama de bloques del FW implementado en el MC y su interacción con la red LoRaWAN y los BES privados del sistema.

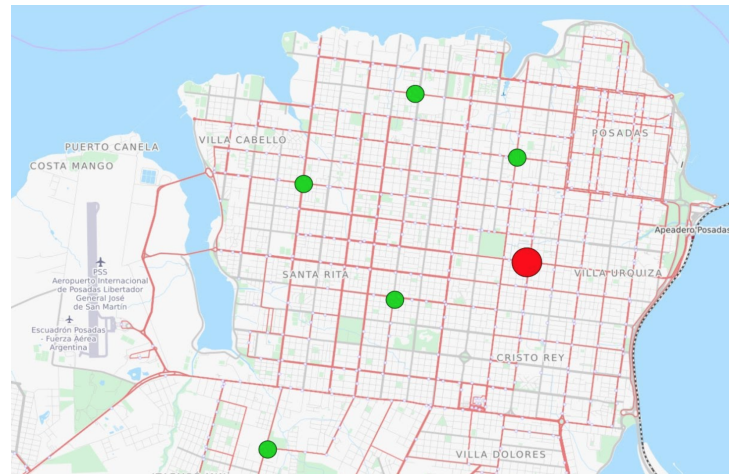


FIGURA 2.3. Ejemplo de interfaz gráfica de usuario requerida por el cliente para presentar los últimos datos recuperados por cada nodo en la ciudad de Posadas, Misiones.

y la disposición de los contactos fue un factor relevante al momento de elegir la mejor opción. La variante comercial que cumplió con los requisitos *1h* es la producida por la firma Hongfa modelo HF115F/005-2ZS4A presentada en la figura 2.5.

2.3.3. Conversión de energía

Para obtener una tensión continua a partir una alterna generada por el TI, es necesario implementar un puente rectificador de onda completa.

En la actualidad la mayoría de los circuitos rectificadores de onda completa se basan en diodos de silicio de bajo costo. Sin embargo, un diodo de silicio posee una caída de tensión típica de 0,7 V. Esta caída de tensión se traduce en pérdidas por efecto Joule y es relevante en dispositivos donde la conversión, acumulación y gestión de energía es crítica. Por lo tanto, se desea maximizar la transferencia de tensión y potencia entre entrada y salida del puente rectificador.

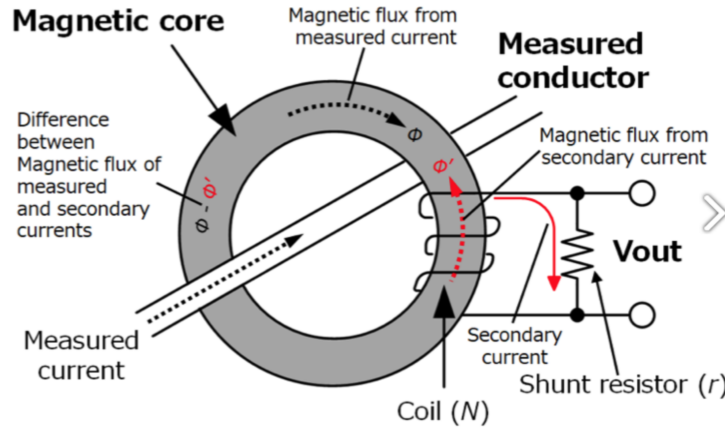


FIGURA 2.4. Circuito de medición indirecta de corriente mediante un TI.[11]

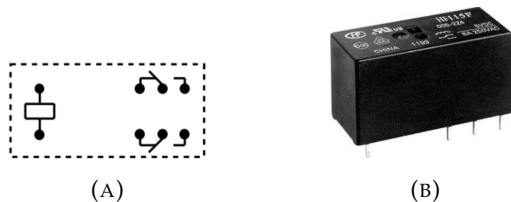


FIGURA 2.5. Pinout del relay HF115F/005-2ZS4A (izquierda) y su encapsulado (derecha). Imágenes tomadas de [12]

(Yilmaz, Mehmet) analiza técnicas de rectificación de onda completa con diferentes tipos de diodos, como así también un arreglo de transistores MOSFET pasivo y activo. Las caídas de tensión simuladas entre la entrada y salida entre un puente rectificador de diodos de silicio y uno pasivo basado en MOSFETs se comparan en la figura 2.6.

Al comparar las simulaciones expuestas en las figuras 2.6b y 2.6d se aprecia que la caída de tensión generada por el rectificador basado en MOSFET al entrar en conducción es menor que uno hecho con diodos, por lo tanto también la potencia disipada en forma de calor.

2.3.4. Supercapacitor como acumulador de energía

La decisión de optar por un banco de supercapacitores (SC) como reemplazo total de una batería, se basa principalmente en el entorno donde operará el nodo HW. Diferencias entre una batería y un SC de interés para este proyecto, se plasman en la tabla 2.1.

Datos meteorológicos de la provincia de Misiones presentados en [14], acusan temperaturas por encima de 30 C durante el periodo de septiembre a marzo. A diferencia de un SC que posee un rango de temperaturas de operación desde los -40 C hasta 70 C [16], condiciones por encima de 35 grados son nocivas para una batería y generan el deterioro prematuro de sus componentes[15].

Es importante remarcar que la densidad de energía que pueden almacenar también es diferente, una batería tiene una densidad de energía 60 veces mayor que un SC. Sin embargo, para esta aplicación puntual no representa un factor importante a la hora de elegir el acumulador.

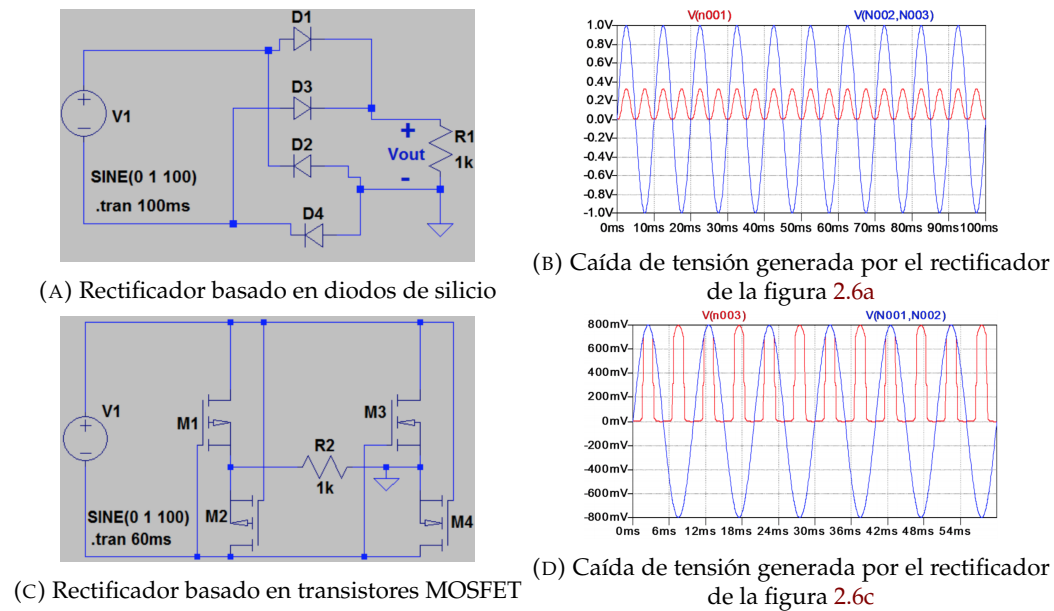


FIGURA 2.6. Simulación de rectificadores basados en diodos y MOSFET. Imágenes tomadas de: [13]

TABLA 2.1. Comparativa entre una batería y un supercapacitor para este proyecto

| | Batería | Supercapacitor |
|-----------------------------|-----------------|---|
| Densidad de energía (Wh/Kg) | 265 | 3.9 |
| Rango de temperatura (C) | 15 a 35 | -40 a 70 |
| Gestión de carga | V o I constante | Determinado por un circuito RC serie [17] |

Por ultimo, en ciclo carga es mas complejo en el caso de una batería. Las etapas de su curva de carga deben ser respetados según sean a corriente o tensión constante. Esto trae acarreado implementar una electrónica adicional encargada de gestionar estos 2 parámetros. En un capacitor, la curva de carga está definida por un circuito RC serie [17].

2.3.5. Uso de mayúscula inicial para los títulos de secciones

Si en el texto se hace alusión a diferentes partes del trabajo referirse a ellas como capítulo, sección o subsección según corresponda. Por ejemplo: “En el capítulo 1 se explica tal cosa”, o “En la sección ?? se presenta lo que sea”, o “En la subsección 2.3.6 se discute otra cosa”.

Cuando se quiere poner una lista tabulada, se hace así:

- Este es el primer elemento de la lista.
- Este es el segundo elemento de la lista.

Notar el uso de las mayúsculas y el punto al final de cada elemento.

Si se desea poner una lista numerada el formato es este:

1. Este es el primer elemento de la lista.
2. Este es el segundo elemento de la lista.

Notar el uso de las mayúsculas y el punto al final de cada elemento.

2.3.6. Este es el título de una subsección

Se recomienda no utilizar **texto en negritas** en ningún párrafo, ni tampoco texto **subrayado**. En cambio sí se debe utilizar *texto en itálicas* para palabras en un idioma extranjero, al menos la primera vez que aparecen en el texto. En el caso de palabras que estamos inventando se deben utilizar “comillas”, así como también para citas textuales. Por ejemplo, un *digital filter* es una especie de “selector” que permite separar ciertos componentes armónicos en particular.

La escritura debe ser impersonal. Por ejemplo, no utilizar “el diseño del firmware lo hice de acuerdo con tal principio”, sino “el firmware fue diseñado utilizando tal principio”.

El trabajo es algo que al momento de escribir la memoria se supone que ya está concluido, entonces todo lo que se refiera a hacer el trabajo se narra en tiempo pasado, porque es algo que ya ocurrió. Por ejemplo, “se diseñó el firmware empleando la técnica de test driven development”.

En cambio, la memoria es algo que está vivo cada vez que el lector la lee. Por eso transcurre siempre en tiempo presente, como por ejemplo:

“En el presente capítulo se da una visión global sobre las distintas pruebas realizadas y los resultados obtenidos. Se explica el modo en que fueron llevados a cabo los test unitarios y las pruebas del sistema”.

Se recomienda no utilizar una sección de glosario sino colocar la descripción de las abreviaturas como parte del mismo cuerpo del texto. Por ejemplo, RTOS (*Real Time Operating System*, Sistema Operativo de Tiempo Real) o en caso de considerarlo apropiado mediante notas a pie de página.

Si se desea indicar alguna página web utilizar el siguiente formato de referencias bibliográficas, dónde las referencias se detallan en la sección de bibliografía de la memoria, utilizando el formato establecido por IEEE en [18]. Por ejemplo, “el presente trabajo se basa en la plataforma EDU-CIAA-NXP [**CIAA**], la cual...”.

2.3.7. Figuras

Al insertar figuras en la memoria se deben considerar determinadas pautas. Para empezar, usar siempre tipografía claramente legible. Luego, tener claro que **es incorrecto** escribir por ejemplo esto: “El diseño elegido es un cuadrado, como se ve en la siguiente figura:”

La forma correcta de utilizar una figura es con referencias cruzadas, por ejemplo: “Se eligió utilizar un cuadrado azul para el logo, como puede observarse en la figura 2.7”.

El texto de las figuras debe estar siempre en español, excepto que se decida reproducir una figura original tomada de alguna referencia. En ese caso la referencia



FIGURA 2.7. Ilustración del cuadrado azul que se eligió para el diseño del logo.

de la cual se tomó la figura debe ser indicada en el epígrafe de la figura e incluida como una nota al pie, como se ilustra en la figura 2.8.



FIGURA 2.8. Imagen tomada de la página oficial del procesador¹.

La figura y el epígrafe deben conformar una unidad cuyo significado principal pueda ser comprendido por el lector sin necesidad de leer el cuerpo central de la memoria. Para eso es necesario que el epígrafe sea todo lo detallado que corresponda y si en la figura se utilizan abreviaturas entonces aclarar su significado en el epígrafe o en la misma figura.

Nunca colocar una figura en el documento antes de hacer la primera referencia a ella, como se ilustra con la figura 2.9, porque sino el lector no comprenderá por qué de pronto aparece la figura en el documento, lo que distraerá su atención.

Otra posibilidad es utilizar el entorno *subfigure* para incluir más de una figura, como se puede ver en la figura 2.10. Notar que se pueden referenciar también las figuras internas individualmente de esta manera: 2.10a, 2.10b y 2.10c.

El código para generar las imágenes se encuentra disponible para su reutilización en el archivo **Chapter2.tex**.

2.3.8. Tablas

Para las tablas utilizar el mismo formato que para las figuras, sólo que el epígrafe se debe colocar arriba de la tabla, como se ilustra en la tabla 2.2. Observar que sólo algunas filas van con líneas visibles y notar el uso de las negritas para los encabezados. La referencia se logra utilizando el comando `\ref{<label>}` donde label debe estar definida dentro del entorno de la tabla.

¹Imagen tomada de <https://goo.gl/images/i7C70w>



FIGURA 2.9. ¿Por qué de pronto aparece esta figura?



(A) Un caption.



(B) Otro.



(C) Y otro más.

FIGURA 2.10. Tres gráficos simples

```
\begin{table} [h]
\centering
\caption[caption corto]{caption largo más descriptivo}
\begin{tabular}{l c c}
\toprule
\textbf{Especie} & \textbf{Tamaño} & \textbf{Valor} \\
\midrule
Amphiprion Ocellaris & 10 cm & \$ 6.000 \\
Hepatus Blue Tang & 15 cm & \$ 7.000 \\
Zebrasoma Xanthurus & 12 cm & \$ 6.800 \\
\bottomrule
\hline
\end{tabular}
\label{tab:peces}
\end{table}
```

TABLA 2.2. caption largo más descriptivo

| Especie | Tamaño | Valor |
|----------------------|--------|----------|
| Amphiprion Ocellaris | 10 cm | \$ 6.000 |
| Hepatus Blue Tang | 15 cm | \$ 7.000 |
| Zebrasoma Xanthurus | 12 cm | \$ 6.800 |

En cada capítulo se debe reiniciar el número de conteo de las figuras y las tablas, por ejemplo, figura 2.1 o tabla 2.1, pero no se debe reiniciar el conteo en cada sección. Por suerte la plantilla se encarga de esto por nosotros.

2.3.9. Ecuaciones

Al insertar ecuaciones en la memoria dentro de un entorno *equation*, éstas se numeran en forma automática y se pueden referir al igual que como se hace con las figuras y tablas, por ejemplo ver la ecuación 2.1.

$$ds^2 = c^2 dt^2 \left(\frac{d\sigma^2}{1 - k\sigma^2} + \sigma^2 [d\theta^2 + \sin^2 \theta d\phi^2] \right) \quad (2.1)$$

Es importante tener presente que si bien las ecuaciones pueden ser referidas por su número, también es correcto utilizar los dos puntos, como por ejemplo "la expresión matemática que describe este comportamiento es la siguiente:"

$$\frac{\hbar^2}{2m} \nabla^2 \Psi + V(\mathbf{r}) \Psi = -i\hbar \frac{\partial \Psi}{\partial t} \quad (2.2)$$

Para generar la ecuación 2.1 se utilizó el siguiente código:

```
\begin{equation}
\label{eq:metric}
ds^2 = c^2 dt^2 \left( \frac{d\sigma^2}{1 - k\sigma^2} + \sigma^2 [d\theta^2 + \sin^2 \theta d\phi^2] \right)
\end{equation}
```

Y para la ecuación 2.2:

```
\begin{equation}
\label{eq:schrodinger}
\frac{\hbar^2}{2m} \nabla^2 \Psi + V(\mathbf{r}) \Psi = -i\hbar \frac{\partial \Psi}{\partial t}
\end{equation}
```

Capítulo 3

Diseño e implementación

3.1. Análisis del software

La idea de esta sección es resaltar los problemas encontrados, los criterios utilizados y la justificación de las decisiones que se hayan tomado.

Se puede agregar código o pseudocódigo dentro de un entorno lstlisting con el siguiente código:

```
\begin{lstlisting}[caption= "un epígrafe descriptivo"]
las líneas de código irían aquí...
\end{lstlisting}
```

A modo de ejemplo:

```

1 #define MAX_SENSOR_NUMBER 3
2 #define MAX_ALARM_NUMBER 6
3 #define MAX_ACTUATOR_NUMBER 6
4
5 uint32_t sensorValue[MAX_SENSOR_NUMBER];
6 FunctionalState alarmControl[MAX_ALARM_NUMBER]; //ENABLE or DISABLE
7 state_t alarmState[MAX_ALARM_NUMBER]; //ON or OFF
8 state_t actuatorState[MAX_ACTUATOR_NUMBER]; //ON or OFF
9
10 void vControl() {
11     initGlobalVariables();
12     period = 500 ms;
13
14     while(1) {
15         ticks = xTaskGetTickCount();
16         updateSensors();
17         updateAlarms();
18         controlActuators();
19
20         vTaskDelayUntil(&ticks, period);
21     }
22 }
```

CÓDIGO 3.1. Pseudocódigo del lazo principal de control.

Capítulo 4

Ensayos y resultados

4.1. Pruebas funcionales del hardware

La idea de esta sección es explicar cómo se hicieron los ensayos, qué resultados se obtuvieron y analizarlos.

Capítulo 5

Conclusiones

5.1. Conclusiones generales

El sistema desarrollado, en concordancia con el objetivo general, conforma una herramienta económica para la prestadora del servicio de energía. Esta herramienta está diseñada para otorgar mayor granularidad de información sobre el estado de operación de las redes, sin implicar cambios significativos de infraestructura. Por otra parte, el análisis de la información suministrada permite identificar eventos recurrentes y evaluar sus posibles causas para poder delinear acciones correctivas y/o preventivas para mejorar la calidad de servicio.

Cumplimentando todos los requerimientos planteados por el cliente, y el tiempo planteado en la planificación, se ha logrado el desarrollo exitoso del sistema en todas sus partes: HW, FW, BES; como así también su integración con la red LoRaWAN.

El uso de la red LoRaWAN de acceso público “The Things Network” elegida para el trabajo, ha funcionado durante todo el desarrollo sin problema alguno, demostrando así su buena cobertura y calidad de servicio a nivel global. Aun cuando el autor ha tenido que cambiar su localización geográfica de Europa a Sudamérica para realizar pruebas de laboratorio, la operación del sistema no se ha visto afectada en ningún aspecto.

El HW es capaz de convertir energía de CA proveniente del TI en otra de CC y almacenarla. Los resultados del Capítulo 4, demuestran que el uso de circuitos de *energy harvesting* en conjunto con tecnologías alternativas de acumulación en constante evolución como los SC, podrían ser posibles sustitutos de las baterías litio en aplicaciones autónomas que operen en régimen 24/7 y donde el rango de temperatura de operación necesaria sea mayor.

Las mediciones de valor RMS de corriente realizadas en el laboratorio, simulando la señal del TI con un GS [referencia al ensayo con GS] y usando una carga de prueba en [referencia al ensayo con carga de prueba], demostraron la linealidad del circuito de medición dentro del rango de medición adoptado.

A partir de los ensayos de consumo en modo deep sleep y autonomía de operación presentados en el capítulo 4, queda demostrado que el patrón “power save loop” ha tenido un impacto significativamente positivo en la gestión de energía del nodo.

El tiempo total de propagación de los datos generados desde el nodo in-situ hacia la red LoRaWAN, recuperación por los BES y presentación en la GUI, es de menos de 5 segundos. Este valor de tiempo de propagación para el reporte de un problema, es considerado excelente en contraste con la situación actual en la provincia de Misiones.

Un conjunto de software con abundante documentación tal como lo es LAMPP,

ha ayudado a reducir el tiempo requerido para la puesta en funcionamiento de los BES propios del proyecto y la integración con la red LoRaWAN a través de su API REST.

Durante la etapa de integración entre LoRaWAN y los BES, fue evidente el valor que tiene la unificación del uso del lenguaje de programación Python. Además de su uso para el desarrollo del FW, se lo utilizó para implementar mockups que emulen los datos generados por el HW. Mediante el uso de esta técnica se pudo garantizar un flujo de desarrollo totalmente desacoplado de la necesidad de involucrar el HW, pero sí con una interacción constante entre servicios WEB públicos y privados.

5.2. Trabajo a futuro

Cumplidos los requerimientos y finalizado el trabajo propuesto, se han identificado las siguientes áreas de mejoras a futuro tanto en HW como SW:

- Actualizar de manera inalámbrica el firmware (OTA): nuevas versiones del firmware del microcontrolador aportarán nuevas funcionalidades, correcciones o mejoras sobre las ya existentes en nodos desplegados. Sin embargo, desarrollar esta funcionalidad es de alta prioridad antes de que el sistema llegue a una etapa de lanzamiento de producto. De esta manera, se prescindirá de la necesidad de intervenir físicamente cada nodo para actualizarlo.
- Modularizar el PCB para realizar mediciones de 3 fases: dado que los sistemas de distribución son trifásicos, el HW deberá también permitir realizar mediciones de corrientes sobre las 3 fases del sistema. Para lograr esto se debería proponer una modularización de la etapa de medición de valor RMS de corriente.
- Integrar servicios de mensajería instantánea: si bien la GUI permite de manera rápida identificar sobre un mapa el punto geográfico donde la red presenta un problema o su estado actual de operación, contar con una aplicación similar para dispositivos móviles será de utilidad para el personal encargado de cumplir horarios de guardia.

Bibliografía

- [1] Asociación Electrotécnica Argentina. «AEA 95301 - Reglamentación Líneas Aéreas Exteriores de Media Tensión y Alta Tensión». En: Asociación Electrotécnica Argentina - AEA, 2007, pág. 13.
- [2] MYEEL. *Meterlink*. <https://www.myeel.com.ar/novedad/Meterlink>. Mayo de 2021. (Visitado 04-05-2021).
- [3] Misiones Online. *La breve tormenta que pasó por Posadas dejó a un árbol sujeto al tendido eléctrico y hay alerta entre los vecinos*. Visitado el 2021-05-04. 2020. URL: <https://misionesonline.net/2020/02/25/la-breve-tormenta-que-paso-por-posadas-dejo-a-un-arbol-sujeto-al-tendido-electrico-y-hay-alerta-entre-los-vecinos/>.
- [4] L. Lu Y. Liang B. Li y J. Guo. «Maintenance of the OPGW using a distributed optical fiber sensor». En: *International Conference on Power System Technology, Chengdu* (2014), págs. 1251-1256. URL: <https://ieeexplore.ieee.org/abstract/document/6993536>.
- [5] Eduardo Omar Sosa Milton Eduardo Sosa. «Internet de las Cosas en Entornos Académicos. Caso de Éxito en la Universidad de Misiones». En: *UBA Elektron* (2017). URL: <http://elektron.fi.uba.ar/index.php/elektron/article/view/9>.
- [6] H. Zhu Y. Zhen X. Chen L. Sun y H. Chen. «Application of Internet of Things in Power-Line Monitoring». En: *International Conference on Cyber-Enabled Distributed Computing and Knowledge Discover* (2012), págs. 423-426.
- [7] Internet Engineering Task Force (IETF). *Hypertext Transfer Protocol – HTTP/1.1*. RFC 8376. Mayo de 2018. DOI: [10.17487/rfc2616](https://doi.org/10.17487/rfc2616). URL: <https://tools.ietf.org/html/rfc8376>.
- [8] J. Filho y V. Moreli H. Filho. «The adequacy of LoRaWAN on smart grids: A comparison with RF mesh technology». En: *IEEE International Smart Cities Conference (ISC2)* (2016).
- [9] S. Dalola y e. al. «Autonomous Sensor System With Power Harvesting for Telemetric Temperature Measurements of Pipes». En: *IEEE Transactions on Instrumentation and Measurement*, vol. 58 (2009), págs. 1471-1478.
- [10] X. Hua. *Power Management Techniques for Supercapacitor Based IoT Applications*. Disponible: 202-03-17. URL: <https://bit.ly/3eZIAjM>.
- [11] HIOKI. *Current sensor measurement principles*. Disponible: 2016-06-25. URL: <https://www.hioki.com/en/products/listUse/?category=17>.
- [12] HONGFA. *HF115F - MINIATURE HIGH POWER RELAY*. Disponible: 2021-05-05. URL: <https://datasheet.octopart.com/HF115F-005-2ZS4AF%28257%29-Hongfa-datasheet-150612269.pdf>.
- [13] Yilmaz, Mehmet. «Passive Full-Wave MOSFET Rectifiers for Electromagnetic Harvesting». Tesis de mtría. 2013. URL: <http://hdl.handle.net/10012/7722>.
- [14] Meteoblue. *Archivo meteorológico de la ciudad de Posadas, Misiones*. Disponible: 2021-05-05. URL: <https://www.meteoblue.com/weather/Argentina/Posadas>

- //www.meteoblue.com/es/tiempo/historyclimate/weatherarchive/posadas_argentina_3429886?fcstlength=1m&year=2020&month=9.
- [15] Shuai Ma y col. «Temperature effect and thermal impact in lithium-ion batteries: A review». En: *Progress in Natural Science: Materials International* 28.6 (2018), págs. 653-666. ISSN: 1002-0071. DOI: <https://doi.org/10.1016/j.pnsc.2018.11.002>. URL: <https://www.sciencedirect.com/science/article/pii/S1002007118307536>.
- [16] Samwha. *Green Cap - Electric double layer capacitors*. Disponible: 2021-05-05. URL: http://www.samwha.com/electric/product/list_pdf1/DB.pdf.
- [17] M. Ceraolo y D. Poli. *Fundamentals of Electric Power Engineering: From Electromagnetics to Power Systems*. Wiley, 2014. ISBN: 9781118868751.
- [18] IEEE. *IEEE Citation Reference*. 1.^a ed. IEEE Publications, 2016. URL: <http://www.ieee.org/documents/ieeecitationref.pdf> (visitado 26-09-2016).